

AF 10/87/SERCE
070615 80.0KV X5000

1μm

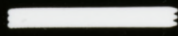
Fig. 1

AF 10/87/SERCE
078623 80.0KV X6000

1µm

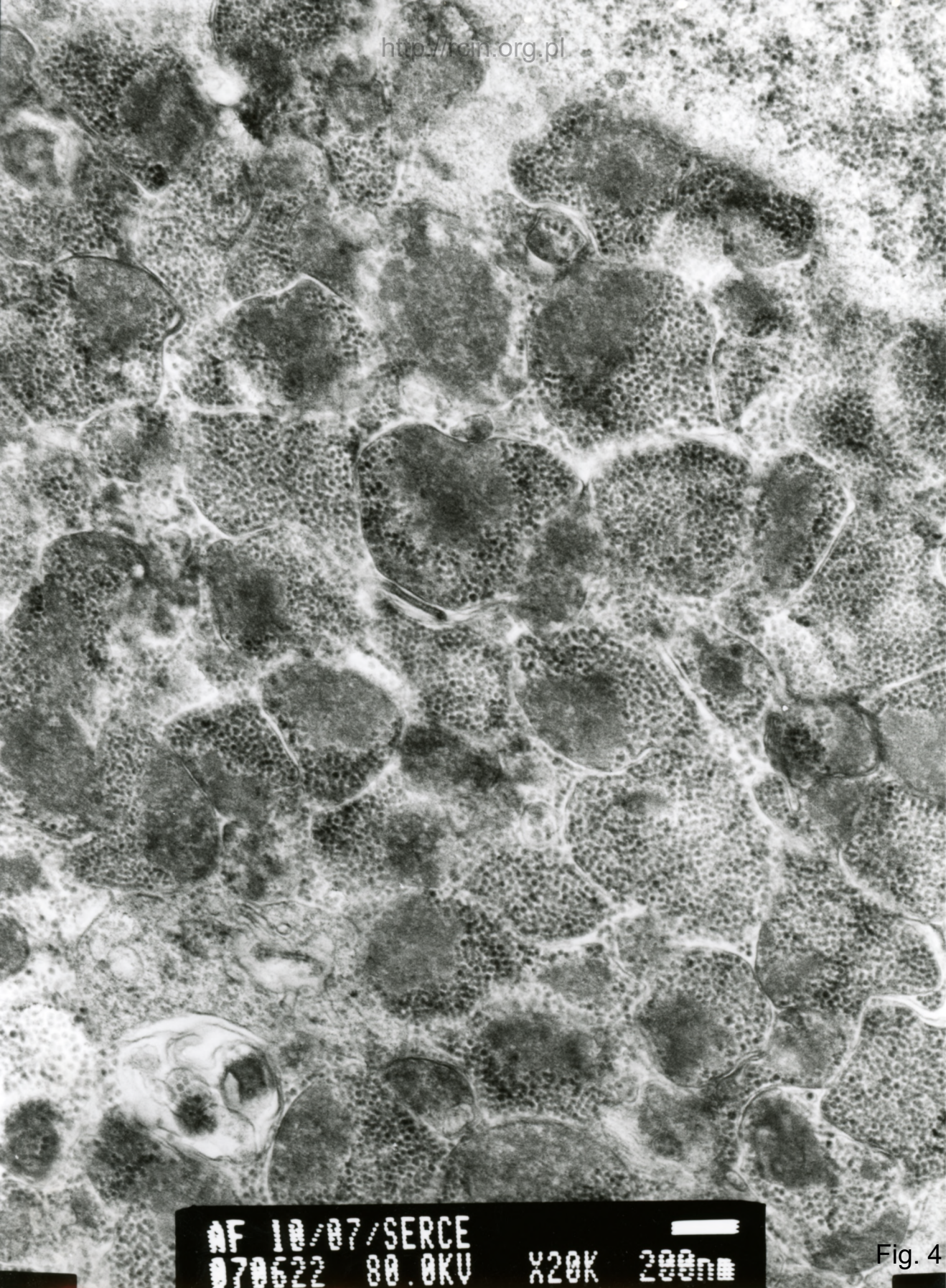
Fig. 2

AF 10/87/SERCE
028617 88 0KU X7500



1 μm

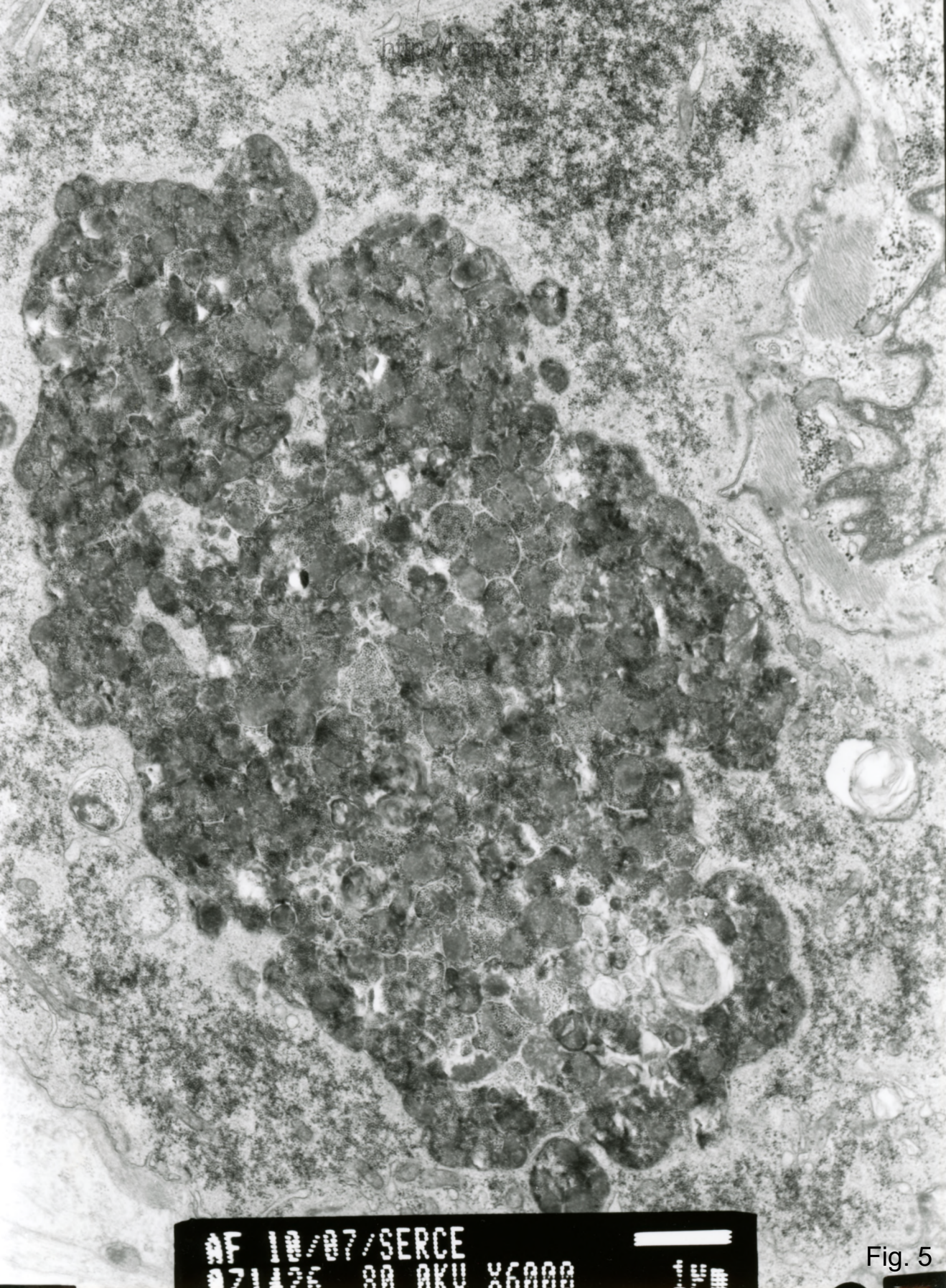
Fig. 3



AF 18/87/SERCE
070622 80.0KV

x20K 200nm

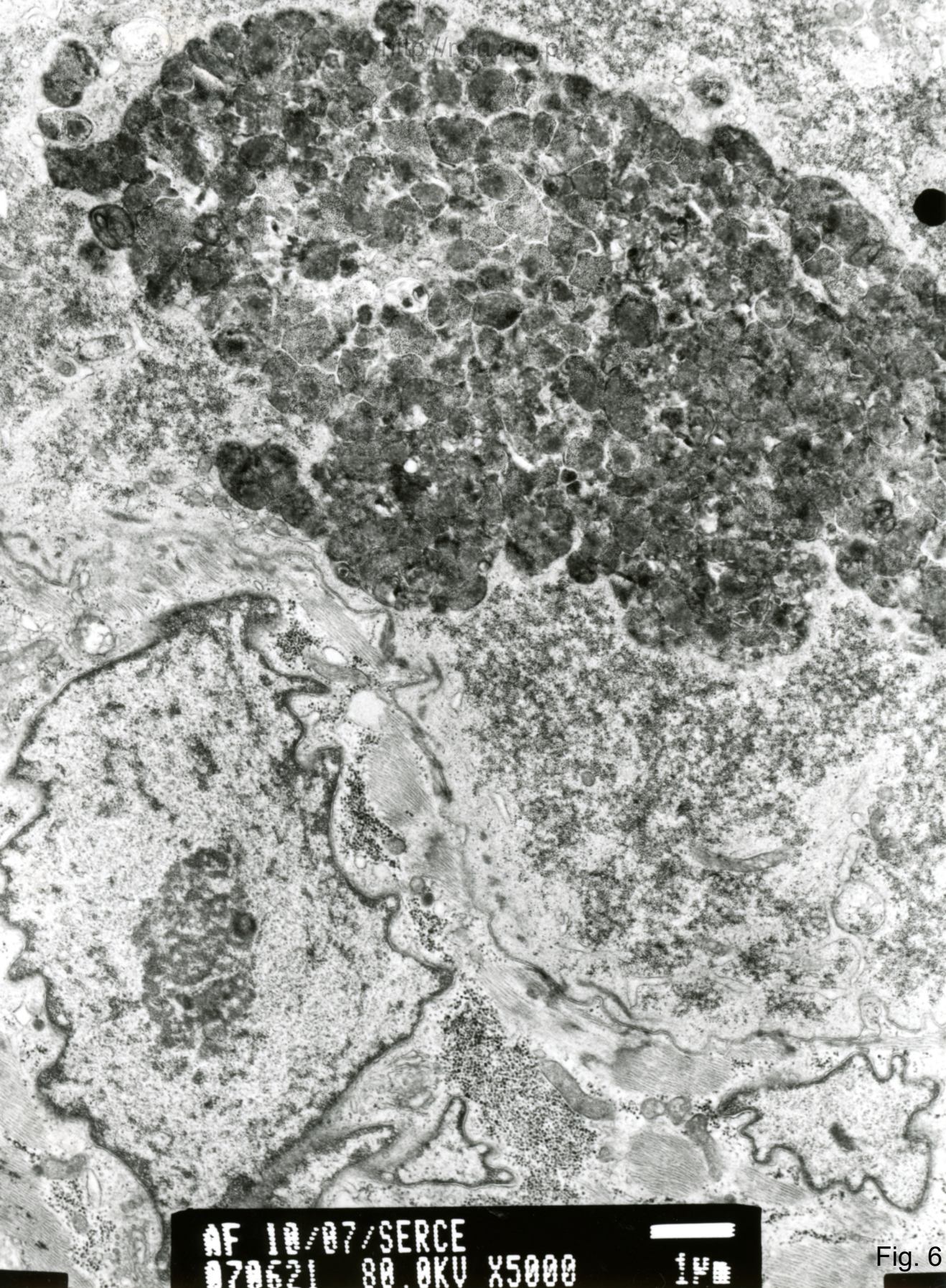
Fig. 4



AF 18/87/SERCE
071126 88 RKU X6000

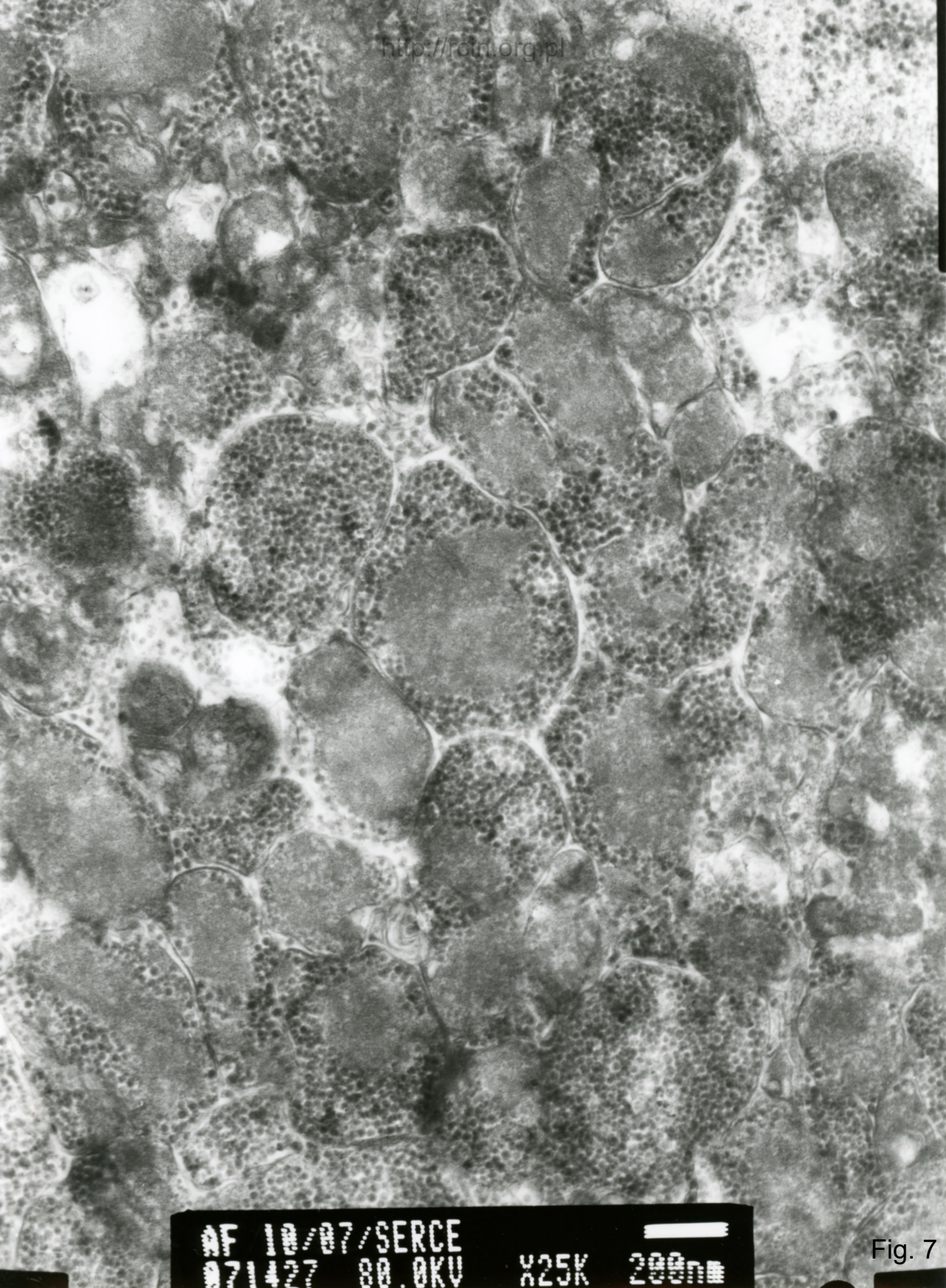
1μm

Fig. 5



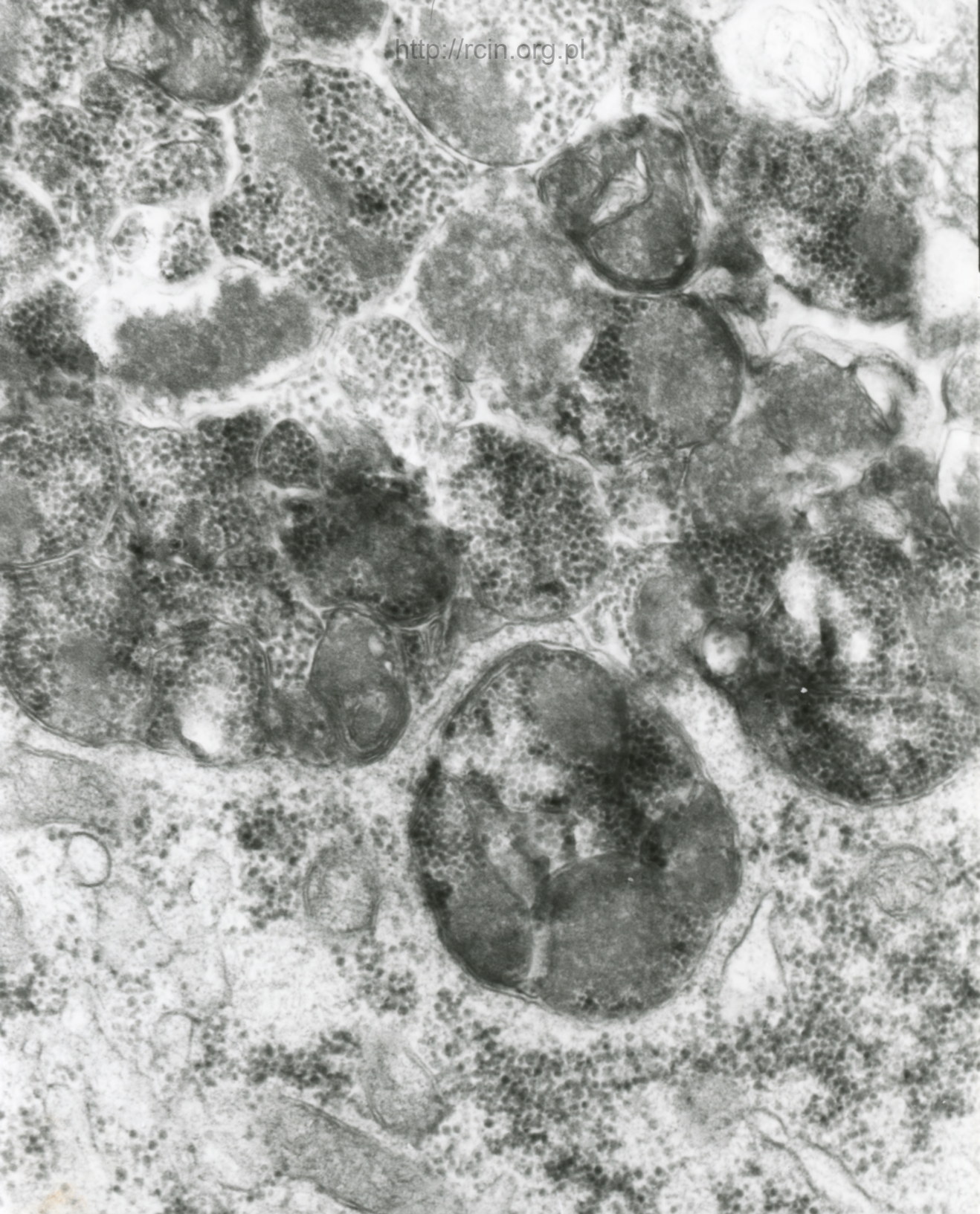
AF 10/07/SERCE
070621 80.0KV X5000

Fig. 6



AF 10/07/SERCE
071427 80.0KV X25K 200nm

Fig. 7



AF 10/07/SERCE
071428 80.0KV X25K 200nm

Fig. 8



AF 18/87/SERCE

070624 80.0KV X3000

2μm

Fig. 9

AF 18/87/SERCE
070616 80.0KV X5000

100

Fig.10

Analiza ultrastrukturalna wykazała zaburzenia w układzie sarkomerów (Fig.1,2). W niektórych kardiomiocytach obserwowano liczne ziarna glikogenu w strefie podbłonowej (Fig. 3). Często ziarna glikogenu występowały w regularnych skupiskach otoczonych błoną. Czasami struktury te wykazywały morfologię autofagosomów (Fig.4-8). Jądra kardiomiocytów posiadały nieregularny kształt i liczne wgłobienia w otoczce (Fig. 9,10).

Ultrastructural evaluation revealed altered sarcomeres arrangement (Figs.1,2). In some cardiomyocytes numerous glycogen granules located under the sarcolemma were observed (Fig. 3). Glycogen granules were also often seen as regular clusters surrounded by membrane. Sometimes these structures showed morphology of autophagosomes (Figs. 4-8). Nuclei of cardiomyocytes were characterized by an irregular shape and numerous indentations in the nuclear envelope (Figs. 9,10).